• 基础研究 •

# 靶向大麻素 1 型受体的 PET 显像剂 18F-JR-1001 的制备与评价

毛迪龙<sup>1</sup> 徐洋洋<sup>1</sup> 陈俊威<sup>1</sup> 何万里<sup>1</sup> 金晨涛<sup>2</sup> 马晓芬<sup>3</sup> 张宏<sup>2</sup> 魏毅<sup>1</sup> 曹淑霞<sup>4</sup> 陈巧珍<sup>5</sup> 和庆钢<sup>1</sup>

<sup>1</sup>浙江大学化学工程与生物工程学院,杭州 310058;<sup>2</sup>浙江大学医学院附属第二医院核医学科及 PET-CT 中心,杭州 310009;<sup>3</sup>广东省第二人民医院核医学科,广州 510080;<sup>4</sup>浙江大学医学院附属邵逸夫医院,杭州 310016;<sup>5</sup>浙江大学医学院附属第二医院精神科,杭州 310009

通信作者:和庆钢, Email: qghe@zju.edu.cn;张宏, Email: hzhang21@zju.edu.cn; 曹淑霞, Email: shuxiacao@zju.edu.cn

【摘要】目的 制备((2-(2-氯苯基)-3-(4-((2-<sup>18</sup>F-氟乙基)氧基)苯基)-5,6,7,8-四氢氧杂环 庚熳并[3,2-c]吡唑-8-基)氨基)甲烷酸甲酯(<sup>18</sup>F-JR-1001),评价其与大麻素 1 型受体(CB1R)结合的能力。方法 利用融合型自动合成仪制备<sup>18</sup>F-JR-1001,测定其放射化学产率、摩尔活度。同时行细胞特异性摄取、脂水分配系数(log P)、竞争性结合、体外稳定性实验。建立喂养 Rimonabant 构建占据 CB1R 大鼠模型(阻断组),对阻断组、正常 SD 大鼠行放射自显影及 microPET/CT 显像,观察<sup>18</sup>F-JR-1001 在各脑区的摄取,评估其血-脑屏障穿透能力。结果 合成的<sup>18</sup>F-JR-1001 衰变校正后的放射化学产率为(32.5±9.2)%(n=10),摩尔活度为(194.6±67.3) GBq/μmol。细胞实验示<sup>18</sup>F-JR-1001 对CB1R 具有特异性,log P=3.40±0.11(n=3),半抑制浓度为 0.975 nmol/L。37 ℃放置 3 h 内,<sup>18</sup>F-JR-1001 在生理盐水和大鼠血液中的放化纯维持在 92%以上,且没有明显的放射性副产物峰。放射自显影示阻断组的全脑摄取值为正常 SD 大鼠的 65.6%; microPET/CT 显像示,<sup>18</sup>F-JR-1001 在阻断组全脑摄取均值为 0.470 6,低于正常 SD 大鼠的全脑摄取均值 1.056 1。同时, microPET/CT 连续扫描 60 min 示<sup>18</sup>F-JR-1001 具有较好的血-脑屏障穿透能力。结论 合成的<sup>18</sup>F-JR-1001 符合生产和应用的要求,并经体外实验、microPET/CT 显像及放射自显影表明了其作为 CB1R 靶向显像剂应用的潜力。

【关键词】 神经系统;放射性药物;氟放射性同位素;受体,大麻酚,CB1;正电子发射断层显像术;大鼠;JR-1001

基金项目:国家自然科学基金委重大仪器专项(32027802);浙江省"领雁"研发攻关计划基金项目(2022C03071)

DOI: 10.3760/cma.j.cn321828-20240905-00313

# Preparation and evaluation of PET tracer <sup>18</sup>F-JR-1001 targeting cannabinoid type 1 receptor

Mao Dilong¹, Xu Yangyang¹, Chen Junwei¹, He Wanli¹, Jin Chentao², Ma Xiaofen³, Zhang Hong², Wei Yi¹, Cao Shuxia⁴, Chen Qiaozhen⁵, He Qinggang¹

<sup>1</sup>School of Chemical Engineering and Biological Engineering, Zhejiang University, Hangzhou 310058, China; <sup>2</sup>Department of Nuclear Medicine and PET-CT Center, the Second Affiliated Hospital of Zhejiang University School of Medicine, Hangzhou 310009, China; <sup>3</sup>Department of Nuclear Medicine, Second People's Hospital of Guangdong Province, Guangzhou 510080, China; <sup>4</sup>Sir Run Run Shaw Hospital, Zhejiang University School of Medicine, Hangzhou 310016, China; <sup>5</sup>Department of Psychiatry, the Second Affiliated Hospital of Zhejiang University School of Medicine, Hangzhou 310009, China

Corresponding authors: He Qinggang, Email: qghe@zju.edu.cn; Zhang Hong, Email: hzhang21@zju.edu.cn; Cao Shuxia, Email: shuxiacao@zju.edu.cn

[Abstract] Objective To prepare ((2-(2-chlorophenyl)-3-(4-((2-<sup>18</sup>F-fluoroethyl) oxy) phenyl)-5,6,7,8-tetrahydrooxepino[3,2-c] pyrazol-8-yl) amino) methanoic acid methyl ester (<sup>18</sup>F-JR-1001) and evaluate its binding affinity to the cannabinoid type 1 receptor (CB1R). Methods <sup>18</sup>F-JR-1001 was synthesized using an integrated automated synthesis module, and its radiochemical yield (RCY) and molar activity were determined. Cell-specific uptake, lipid-water partition coefficient (log *P*), competitive binding assays, and *in vitro* stability tests were performed. Rimonabant-fed rat models (blocking group) with pre-occupied CB1R were established. Radioautography and microPET/CT imaging were conducted on both the blocking

group and normal Sprague-Dawley (SD) rats to evaluate the brain uptake of <sup>18</sup>F-JR-1001 and its blood-brain barrier (BBB) penetration capability. **Results** The RCY of the synthetic <sup>18</sup>F-JR-1001 after decay correction was (32.5±9.2)% (*n*=10), with the molar activity of (194.6±67.3) GBq/μmol. Cell experiments demonstrated that <sup>18</sup>F-JR-1001 exhibited specificity for CB1R, with log *P* of 3.40±0.11 (*n*=3) and half-maximal inhibitory concentration of 0.975 nmol/L. Within 3 h at 37 °C, the radiochemical purity of <sup>18</sup>F-JR-1001 in physiological saline and blood remained above 92%, with no significant radioactive by-product peaks observed. Radioautography showed that the whole brain uptake of <sup>18</sup>F-JR-1001 in the blocking group was 65.6% of that in normal SD rats. MicroPET/CT imaging showed that the mean whole brain uptake of <sup>18</sup>F-JR-1001 in the blocking group was 0.470 6, which was lower than that in normal SD rats (1.056 1). Additionally, continuous scanning for 60 min demonstrated that <sup>18</sup>F-JR-1001 exhibited good BBB penetration capability. **Conclusion** The synthesized <sup>18</sup>F-JR-1001 meets the requirements of production and application, and is proved the potential as a CB1R-targeted tracer in the *in vitro* experiments, microPET/CT imaging and radioautography.

[Key words] Nervous system; Radiopharmaceuticals; Fluorine radioisotopes; Receptor, cannabinoid, CB1; Positron-emission tomography; Rats; JR-1001

**Fund program:** Special Fund for Basic Research on Scientific Instruments of the National Natural Science Foundation of China(32027802); Zhejiang Province "Lingyan" R & D Research Plan Fund Project (2022C03071)

DOI: 10.3760/cma.j.cn321828-20240905-00313

大麻素 1 型受体(cannabinoid type 1 receptor, CB1R) 在整个神经系统中表达, 具有独特的药理和生理作用<sup>[1-2]</sup>, 被诸多研究者认为是疾病治疗和药物开发的中枢神经系统靶点<sup>[3]</sup>。CB1R 在人脑中的密度很高, 特别是黑质、纹状体、壳核、杏仁核、海马和小脑<sup>[4-5]</sup>。此外, CB1R 在外周神经和组织中也有丰富的表达, 如胃肠系统、脂肪组织、骨骼、皮肤以及一些癌症细胞<sup>[6]</sup>。

尽管靶向 CB1R 的 PET 探针,如 N-((1S,2S)-2-(3-氰基苯基)-3-(4-(2-18F-氟乙氧基)苯基)-1-甲 基丙基)-2-甲基-2-((5-甲基吡啶-2-基)氧基)丙酰胺  $[N-((1S,2S)-2-(3-\text{cyanophenyl})-3-(4-(2-^{18}F-\text{fluoroe}))]$ thoxy) phenyl)-1-methylpropyl)-2-methyl-2-((5-methylpyridin-2-yl) oxy) propanamide, <sup>18</sup>F-MK-9470 [<sup>7-8</sup>] (3R,5R)-5-(3-18 F-氟苯基)-3-(((1R)-1-苯基乙 基) 氨基)-1-(4-(三氟甲基) 苯基) 吡咯烷-2-酮  $[(3R,5R)-5-(3-{}^{18}F-fluorophenyl)-3-(((1R)-1-phe$ nylethyl) amino) -1-(4-(trifluoromethyl) phenyl) pyrrolidin-2-one,  $^{18}$ F-FPATPP ]  $^{[9]}$   $\sim$  (3R,5R)-5-(3-( $^{18}$ F-氟甲氧基) 苯基)-3-(((R)-1-苯乙基) 氨基)-1-(4-(三氟甲基)苯基)吡咯烷-2-酮[(3R,5R)-5-(3-(18Ffluoromethoxy) phenyl)-3-(((R)-1-phenylethyl) amino)-1-(4-(trifluoromethyl) phenyl) pyrrolidin-2-one, <sup>18</sup>F-FMPEP-d, ][10]等, 具有极佳的亲和力、适中的血-脑 屏障穿透力、相对丰富的临床研究基础等特点,但 仍然存在易脱氟等问题。

本研究对 CB1R 有特异性的分子进行功能性改造,利用全自动程序设置合成探针((2-(2-氯苯基)-3-(4-((2-<sup>18</sup>F-氟乙基)氧基)苯基)-5,6,7,8-四氢氧杂环庚熳并[3,2-c]吡唑-8-基)氨基)甲烷酸甲酯

[((2-(2-chlorophenyl)-3-(4-((2-<sup>18</sup> F-fluoroethyl) oxy) phenyl)-5,6,7,8-tetrahydrooxepino[3,2-c] pyrazol-8-yl)amino) methanoic acid methyl ester, <sup>18</sup> F-JR-1001],并通过实验评价<sup>18</sup> F-JR-1001 作为早期诊断抑郁症新型探针的潜力。

## 材料与方法

# 一、实验材料

1.实验动物。雄性 SD 大鼠 21 只,6 周龄,体质量 (220±10) g,购于杭州医学院,动物实验许可证号为 SYXK(浙)2022-0027,在无特殊病原体环境中饲养,动物实验经浙江大学实验动物福利伦理审查委员会 批准(伦理审查号:ZJU20230491,ZJU20241155)。

2.实验材料及试剂。前体 4-甲基苯磺酸-2-((4-(2-(2-氯苯基)-8-((甲氧基羰基)氨基)-5,6,7,8-四 氢氧杂环庚熳并[3,2-c]吡唑-3-基)苯基)氧基)乙基 酯 [ 4-methylbenzenesulfonate-2-( ( 4-( 2-( 2-chlorophenyl)-8-((methoxy-carbonyl) amino)-5, 6, 7, 8-tetrahydrooxepino[3,2-c]pyrazol-3-yl)phenyl)oxy)ethyl esters, TsO-JR-1001]由本实验室制备;无水乙腈、乙醇、 抗坏血酸、生理盐水、三氟乙酸、二甲基亚砜(dimethyl sulfoxide, DMSO)、异氟烷、聚乙二醇(polyethylene glycol, PEG)300、Tween80(美国 Sigma-Aldrich 公司);正 辛醇(上海麦克林生化科技股份有限公司);孕烯醇酮 (上海笛柏生物科技有限公司); Rimonabant (河北沿 程生物科技有限公司):PBS[英潍捷基(上海)贸易有 限公司]。中国仓鼠卵巢(Chinese Hamster Ovary, CHO)细胞、EX-A1753-Lv242 质粒和 EX-A0463-Lv105 质粒采购于美国典型培养物保藏中心(American Type Culture Collection, ATCC)细胞库。

3.实验仪器。CYPRIS HM-12 回旋加速器(日本住友重机械工业株式会社);依利特 P230 半制备高效液相色谱(high performance liquid chromatography, HPLC)仪(大连依利特分析仪器有限公司);融合型自动合成仪 OnePlatform® V3.1s(杭州吉蕊科技有限公司);WIZARD2 γ 计数仪(美国 PerkinElmer 公司);Super-Argus microPET/CT 仪(西班牙赛德科医疗设备有限公司)。

# 二、实验方法

1. <sup>18</sup>F-JR-1001 的制备与质量控制。合成路线见图 1。经共沸蒸发得到干燥的<sup>18</sup> F-KF,加入前体TsO-JR-1001。在密闭条件下,110 ℃反应 5 min。反应结束后,冷却至 40 ℃。HPLC 纯化,并通过 C18 色谱柱对<sup>18</sup> F-JR-1001 进行吸附,乙醇、抗坏血酸生理盐水溶液冲洗 C18 柱,得到<sup>18</sup> F-JR-1001 溶液,并用无菌滤膜过滤、输送到无菌样品瓶。利用 HPLC测定放化纯,并加入标准品<sup>19</sup> F-JR-1001 进行同一性验证,流动相为 V(乙腈):V(体积分数 0.05%三氟乙酸水溶液)=65:35,流速:1 ml/min。按《中华人民共和国药典》2025 版中相关规定对<sup>18</sup> F-JR-1001 溶液进行澄明度、pH 值、残留溶剂、无菌及内毒素等检查<sup>[11]</sup>。

2.体外细胞实验。用 EX-A1753-Lv242 质粒和 EX-A0463-Lv105 分别转染 CHO 细胞得到高表达的 CB1R(hCB1R)-CHO 细胞、高表达的 CB2R(hCB2R)-CHO 细胞,在得到的 hCB1R-CHO 细胞培养基中加入 CB1R 抑制剂 Rimonabant,得到经过 Rimonabant 处理后的 hCB1R-CHO 细胞。根据 Kilbourn 等<sup>[12]</sup>的方法进行体外结合亲和度测试。根据 Singh 等<sup>[13]</sup>的方法进行竞争性结合实验。细胞摄取率=(细胞内摄取量/初始投加总量)×100%。

3.体外稳定性。取 1 ml 大鼠血液存储于抗凝管,另取 1 ml 生理盐水作为对照组。向大鼠血液加入<sup>18</sup> F-JR-1001 乙醇溶液(37 MBq)后在 37 ℃下摇床温育 0、15、30、60、90、180 min,在各时间点取 1.5 ml

并立即离心(离心半径  $2.5 \,\mathrm{cm}$ ,  $13\,000 \,\mathrm{r/min}$ ,  $5\,\mathrm{min}$ ,  $25\,\mathrm{°C}$ )获得血浆上清液。血浆中加入  $0.2\,\mathrm{ml}$  乙腈沉淀其中的蛋白质,再次离心获取上清液。使用  $0.22\,\mathrm{\mu m}$  的有机滤膜过滤后,使用 HPLC 测定放化纯。生理 盐水组重复以上操作。

4.脂水分配系数  $\log P$  的测定。将 20  $\mu$ l <sup>18</sup>F-JR-1001 加入 50  $\mu$ l DMSO 中,与正辛醇(490  $\mu$ l)及 PBS (490  $\mu$ l)混合,涡旋 5 min 后,该混合溶液在 37  $^{\circ}$  化 据床中放置过夜,次日 25  $^{\circ}$  下离心(离心半径 2.5 cm, 13 000 r/min,10 min)。随后分别在两相中取出 30  $\mu$ l (3×10  $\mu$ l),利用  $\gamma$  计数仪检测放射性计数。脂水分配系数  $\log P = \log[$  (有机相计数-本底计数)/(水相计数-本底计数)],取平均值。

5.放射自显影。将配置好的 Rimonabant 溶液 0.3 ml (15 mg/ml)通过灌胃的方式喂养大鼠,定时定点连 续喂养 14 d。其中, Rimonabant 溶液即 15 mg Rimonabant 溶解在 100 μl DMSO、400 μl PEG300、 50 μl Tween80、450 μl 生理盐水配置的 1 ml 溶剂中。 孕烯醇酮和 Rimonabant (两者均为 CB1R 拮抗剂)的 喂养方式相同,构建占据 CB1R 大鼠模型作为对照。 将喂养 Rimonabant、孕烯醇酮构建占据 CB1R 大鼠 及正常 SD 大鼠各 3 只放入专用的麻醉盒中,异氟 烷(体积分数 1.5%, 2~4 ml/min O<sub>2</sub>)麻醉后, 根据大 鼠体质量以 37 kBq/g 的活度(约 0.5 ml)经尾静脉 注射<sup>18</sup>F-JR-1001, 大鼠注射后室温正常活动 30 min。 60 min 内解剖,取其心、肝、脾、肺、肾、脑放在放射自 显影专用的磷屏,避光放置 30 min 后扫描。扫描结 束后,v 计数仪测量放射性浓度,并对显像剂注入时 间进行衰减校正。同时,对脑区的摄取采取定量化 检测。

6. MicroPET/CT 显像。取正常 SD 大鼠和喂养Rimonabant 构建占据 CB1R 大鼠模型(阻断组)各 3 只, 异氟烷麻醉后按体质量经尾静脉注射生理盐水稀释的 37 kBq/g <sup>18</sup>F-JR-1001(0.5 ml)。实验大鼠注射后室

图1 ((2-(2-氯苯基)-3-(4-((2-<sup>18</sup>F-氟乙基) 氧基) 苯基)-5,6,7,8-四氢氧杂环庚熳并[3,2-c] 吡唑-8-基) 氨基) 甲烷酸甲酯( $^{18}$ F-JR-1001)的合成路线。TsO-JR-1001 为 4-甲基苯磺酸-2-((4-(2-(2-氯苯基)-8-((甲氧基羰基) 氨基)-5,6,7,8-四氢氧杂环庚熳并[3,2-c] 吡唑-3-基) 苯基) 氧基) 乙基酯,  $K_{222}$  为氨基聚醚, MeCN 为乙腈

温正常活动 20 min,在持续异氟烷(体积分数 1.5%,2~4 ml/min  $O_2$ ) 麻醉下行 microPET 全身静态扫描 10 min。CT 衰变校正后使用 PMOD 重建图像,并利用软件进行全身关注区域分区,计算各个区域的摄取值,同时进行脑分区,计算正常 SD 大鼠和阻断组脑区(脑垂体、小脑-血液、中央沟-中脑导水管等)摄取值。

为验证这些脑区的 PET 显像剂摄取特异性靶向 CB1R,取 3 只 SD 大鼠分别经尾静脉按体质量注射 1 mg/kg 的抑制剂 Rimonabant 后 30 min 再注射<sup>18</sup>F-JR-1001,然后对正常 SD 大鼠及经 Rimonabant 预处理的 SD 大鼠各 3 只行 60 min 连续扫描。显像剂体积、剂量、麻醉方式、图像重建方法同前所述。

7.统计学处理。采用 GraphPad Prism 8.0 软件分析数据。符合正态分布的定量资料采用  $\bar{x} \pm s$  表示;细胞特异性摄取及放射自显影多组间比较采用单因素方差分析,两两比较采用最小显著差异 t 检验。P<0.05 为差异有统计学意义(双侧检验)。

## 结 果

1. <sup>18</sup>F-JR-1001 的制备与质量控制。(1)产物的摩尔活度为(194.6±67.3) GBq/µmol,衰变校正后的放射化学产率为(32.5±9.2)%(n=10),产率较为稳定。化学纯大于 99%,总制备时间为 60 min。(2)注射液为无色澄清透明液体,pH 值 6.7,放化纯大于99%,乙腈残留、乙醇残留、无菌和内毒素测试均合格。(3)同一性验证证明得到的产品为标记成功的<sup>18</sup>F-JR-1001。

2.体外细胞实验。60 min 时,4 组细胞的<sup>18</sup> F-JR-1001 摄取率差异有统计学意义(F=190.30,P<0.001)。进一步两两比较,CHO 细胞[(3.91±0.33)%]、hCB2R-CHO 细胞[(3.18±0.06)%]、经过 Rimonabant 处理后的 hCB1R-CHO 细胞[(3.27±0.20)%]对<sup>18</sup> F-JR-1001的摄取远低于 hCB1R-CHO 细胞[(6.58±0.10)%;t值:13.39、53.51、26.29,均 P<0.001],hCB1R-CHO 细胞经过 Rimonabant 处理后的摄取率直接降至与hCB2R-CHO 细胞相近。竞争性结合实验结果示半抑制浓度为 0.975 nmol/L。

3.体外稳定性及脂水分配系数。37 ℃放置 3 h 后, $^{18}$ F-JR-1001 在生理盐水中放化纯仍>98%,而在大鼠血液中,其放化纯也始终大于 92%,且没有明显的放射性副产物峰。 $^{18}$ F-JR-1001 的脂水分配系数  $\log P$  为 3.40±0.11(n=3)。

4.放射自显影(图 2)。18 F-JR-1001 除在肝中有较

高摄取外,在心、肾、脑、肺等组织均有一定摄取,与 CB1R 在 SD 大鼠的全身组织分布相一致  $^{[14]}$ 。3 组大鼠脑摄取差异无统计学意义 (F=2.37, P=0.124),其中正常 SD 大鼠组摄取值为 ( $75.34\pm10.51$ )× $10^4$ ,喂养 Rimonabant、孕烯醇酮构建占据 CB1R 大鼠组摄取值分别为 ( $49.43\pm8.84$ )× $10^4$ 、( $66.55\pm6.39$ )× $10^4$ (n=3),喂养 Rimonabant、孕烯醇酮构建占据 CB1R 大鼠的脑摄取值分别为正常 SD 大鼠的 65.6%、88.3%。

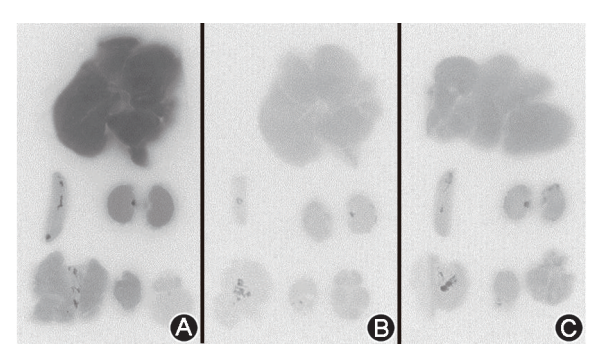


图 2 正常 SD 大鼠(A) 及喂养 Rimonabant(B)、孕烯醇酮(C)构建占据大麻素 1 型受体(CB1R)大鼠注射((2-(2-氯苯基)-3-(4-((2-<sup>18</sup>F-氟乙基)氧基)苯基)-5,6,7,8-四氢氧杂环庚熳并[3,2-c] 吡唑-8-基) 氨基)甲烷酸甲酯(<sup>18</sup>F-JR-1001)后30 min 的放射自显影图像。摆放顺序为上 1 肝、中 1 脾、中 2 肾、下 1 肺、下 2 心、下 3 脑(颜色越深,摄取越高),可见正常SD 大鼠的颜色较其他 2 组更深

5. MicroPET/CT 显像。正常 SD 大鼠全身显像 (图 3)结果示探针在小肠、膀胱有非常高的摄取,其中小肠的高摄取可能是因为<sup>18</sup> F-JR-1001 有较高的 亲脂性;在肝、心、肾、脑等组织有一定摄取,这与 CB1R 在 SD 大鼠的表达分布相一致<sup>[14]</sup>;而在脾和 骨则仅有少量摄取,与放射自显影数据相符。

正常 SD 大鼠<sup>18</sup>F-JR-1001 脑显像(图 4A)示,内侧前额叶皮质、纹状体、隔膜、海马后部、海马前背侧等对<sup>18</sup>F-JR-1001 的摄取最高(SUV>1.10),下丘脑、绣球、上丘等也有一定的摄取(SUV≈1),而中脑、腹侧被盖区、脑桥、脑垂体等摄取相对更低。其中正常SD 大鼠的全脑摄取均值 1.056 1,阻断组全脑摄取均值为 0.470 6,阻断组(图 4B)摄取明显降低。

阻断组的整体 ROIs 的 SUV 低于正常 SD 大鼠 SUV,其中脑垂体、小脑-血液、中央沟-中脑导水管周围灰质下降较少,均在 46%以内;而在隔膜、纹状体和海马后部 SUV 下降更为明显,均超过 64%。以全脑为基准计算 SUV 比值(SUV ratio, SUVR),正常 SD 大鼠和阻断组的绣球、扣带回皮质和内侧前额叶皮质等的 SUVR 均比其他脑区 SUVR 高。

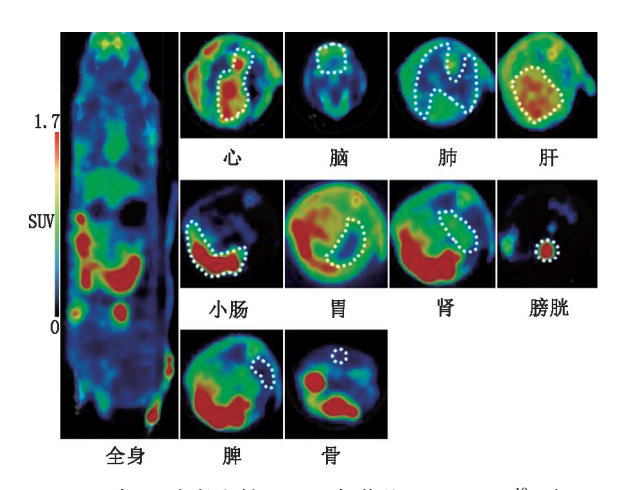


图 3 正常 SD 大鼠注射((2-(2-氯苯基)-3-(4-((2-<sup>18</sup> F-氟乙基)氧基)苯基)-5,6,7,8-四氢氧杂环庚熳并[3,2-c]吡唑-8-基)氨基)甲烷酸甲酯(<sup>18</sup> F-JR-1001)后 20 min 的 microPET/CT显像图。可见脾脏、骨摄取非常低,而小肠、膀胱等有非常高的摄取

6.血-脑屏障穿透能力验证。观察正常 SD 大鼠脑区域重建后的 2 个时间段的 microPET/CT 融合图像(图 5A,5B)发现,SUV 处于 0~1.7 时,0~20 min 时间段内观察到部分显像剂聚集在脑区,特别是在小脑部位;20~60 min 时间段内,脑区显像剂摄取大幅提高,同其他区域的对比也愈加明显。调整 SUV 范围到 1~1.7(图 5B),清晰可见颅骨内的脑组织出现较高的显像剂摄取(SUV>1)。在整个时间段里,几乎没有发现包括颅骨、颈椎骨等骨组织

存在明显的显像剂摄取。而 Rimonabant 预处理的 SD 大鼠,全脑区的<sup>18</sup> F-JR-1001 摄取大幅下降(图 5C),表明<sup>18</sup> F-JR-1001 在脑区特异性地靶向 CB1R。

## 讨 论

以抑郁症相关的 CB1R 靶点作为研究方向,本研究利用融合型自动合成仪制备了靶向 CB1R 的PET 显像剂<sup>18</sup> F-JR-1001,其在生理盐水和大鼠血液中没有观察到明显的放射性副产物峰,这表明<sup>18</sup> F-JR-1001 的体外稳定性佳,在常规使用中不易出现放射性分解,推断其在体内的稳定性较好。细胞实验显示<sup>18</sup> F-JR-1001 在 hCB1R-CHO 细胞株中的摄取特异性靶向 CB1R,竞争性结合实验表明<sup>18</sup> F-JR-1001 对 CB1R 的结合具有高亲和力和高选择性。

放射自显影结果发现,<sup>18</sup>F-JR-1001 在生物体内CB1R 富集的地方均有摄取,表明在不同组织中均显示特异性的特征;在脾则仅有少量摄取被观察到,表明探针在体内具有较高的代谢稳定性,放射性脱氟现象较少。对比2组抑制剂发现,喂养Rimonabant、孕烯醇酮构建占据CB1R大鼠的脑摄取值分别为正常SD大鼠的65.6%、88.3%,Rimonabant抑制CB1R表达的效果较孕烯醇酮的抑制效果好,且不会因为抑制剂的不同而产生摄取不均的结果,排除了因选择不同的抑制剂而造成摄取区域不同影响。故 microPET/CT 显像仅分析喂养 Rimonabant

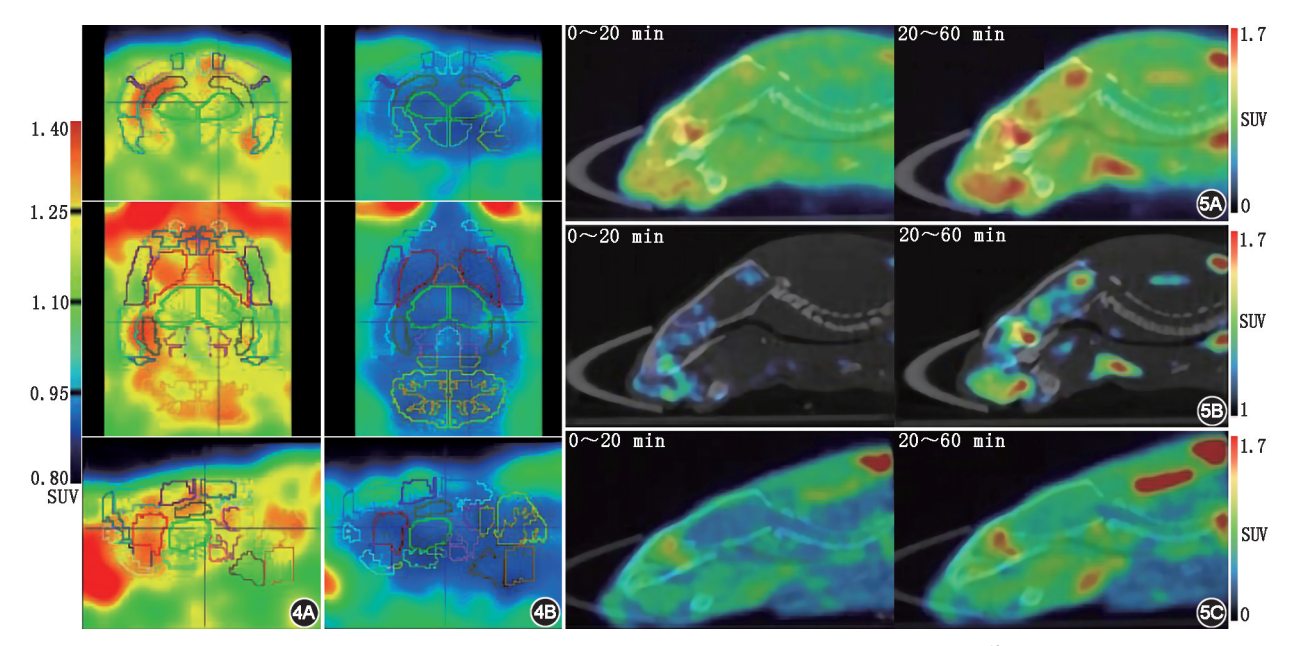


图 4 正常 SD 大鼠(4A)、喂养 Rimonabant 构建占据大麻素 1 型受体(CB1R) 大鼠模型(阻断组;4B)注射<sup>18</sup>F-JR-1001 后 20 min 的 micro-PET/CT 脑显像图。可见阻断组摄取明显降低 图 5 正常 SD 大鼠(5A,5B)、Rimonabant 预处理的 SD 大鼠(5C)注射<sup>18</sup>F-JR-1001 后 0~60 min 的脑区 microPET/CT 融合图像。可见随着时间变化,脑中的摄取越来越高;而经 Rimonabant 预处理的 SD 大鼠摄取较正常大鼠明显降低

构建占据 CB1R 大鼠及正常 SD 大鼠,结果示<sup>18</sup>F-JR-1001 在 SD 大鼠脑区的分布情况与 CB1R 在中枢神经系统表达情况高度一致<sup>[5]</sup>,表明了<sup>18</sup>F-JR-1001 对 CB1R 的高度亲和力和选择性。内侧前额叶、背外侧前额叶等皮质 SUVR 较高或许是因为其是情感和认知的调控关键部位<sup>[15]</sup>,其内含的丰富谷氨酸能神经元将介导参与到多样的神经环路的活动中<sup>[16]</sup>。

本研究还关注了<sup>18</sup> F-JR-1001 在 SD 大鼠脑区的摄取情况,放射自显影及 microPET/CT 结果表明探针具有较好的血-脑屏障的穿透能力,与实验得到的脂水分配系数数据一致。CB1R 减少时,探针在脑区的摄取量减少,和目前研究中发现抑郁症生物体内可能会出现 CB1R 减少的特征相符合<sup>[5,10]</sup>,再次证明了<sup>18</sup> F-JR-1001 替代现有的 CB1R 靶向探针在临床应用中的潜力。同时,血-脑屏障穿透能力的结果显示颅骨、颈椎骨等骨组织几乎没有显像剂摄取,表明<sup>18</sup> F-JR-1001 具有较好的体内代谢稳定性,没有出现或仅有少量的放射性脱氟现象。而探针<sup>18</sup> F-MK-9470、<sup>18</sup> F-FPATPP、<sup>18</sup> F-FMPEP-d<sub>2</sub> 的 PET 图像示骨摄取均较<sup>18</sup> F-JR-1001 高<sup>[7-10]</sup>,表明<sup>18</sup> F-JR-1001 脱氟现象相较于现有的 3 种探针低,安全性较高。

综上,本研究制备了新型靶向 CB1R 的 PET 显像剂,开展相应评价研究,结果显示性能优于已知探针。考虑到实际合成以及生物实验处理方式的不同,后续还需通过更大的生物样本量论证。

## 利益冲突 所有作者声明无利益冲突

作者贡献声明 毛迪龙:研究实施、论文撰写、图像采集、统计学分析;徐洋洋、魏毅:研究实施、论文撰写;陈俊威、何万里、金晨涛、马晓芬:图像采集、统计学分析;张宏、曹淑霞、陈巧珍、和庆钢:研究指导、论文修改

#### 参考文献

- [1] Bo Y, Zhao X, Li L. Cardiotoxic effects of common and emerging drugs: role of cannabinoid receptors[J]. Clin Sci (Lond), 2024, 138(6): 413-434. DOI:10.1042/CS20231156.
- [2] Mori K, Togo A, Yamashita K, et al. Mitochondrial damage and ER stress in CB1 receptor antagonist-induced apoptosis in human neuroblastoma SH-SY5Y cells [J]. Neuropharmacology, 2025, 273; 110440. DOI:10.1016/j.neuropharm.2025.110440.
- [3] Kouchaeknejad A, Van Der Walt G, De Donato MH, et al. Imaging and genetic tools for the investigation of the endocannabinoid system in the CNS [J]. Int J Mol Sci, 2023, 24 (21): 15829. DOI:10.3390/ijms242115829.
- [4] 石亚军,马磊,李力,等.大麻素受体1与中枢神经系统疾病关系的研究进展[J].中华神经医学杂志,2018,17(2):195-198.

- DOI:10.3760/cma.j.issn.1671-8925.2018.02.017.
  Shi YJ, Ma L, Li L, et al. Recent advance in relationship between
- cannabinoid receptor 1 and central nervous system diseases [J]. Chin J Neuromed, 2018, 17(2): 195-198. DOI:10.3760/cma.j. issn.1671-8925.2018.02.017.
- [5] Rathod SS, Agrawal YO, Nakhate KT, et al. Neuroinflammation in the central nervous system; exploring the evolving influence of endocannabinoid system [J]. Biomedicines, 2023, 11 (10); 2642. DOI;10.3390/biomedicines11102642.
- [6] Tao R, Li C, Jaffe AE, et al. Cannabinoid receptor CNR1 expression and DNA methylation in human prefrontal cortex, hippocampus and caudate in brain development and schizophrenia [J]. Transl Psychiatry, 2020, 10(1): 158. DOI:10.1038/s41398-020-0832-8.
- [7] Burns HD, Van Laere K, Sanabria-Bohórquez S, et al. [<sup>18</sup>F]MK-9470, a positron emission tomography (PET) tracer for in vivo human PET brain imaging of the cannabinoid-1 receptor [J]. Proc Natl Acad Sci U S A, 2007, 104 (23): 9800-9805. DOI: 10. 1073/pnas.0703472104.
- [8] Shen CJ, Zheng D, Li KX, et al. Cannabinoid CB1 receptors in the amygdalar cholecystokinin glutamatergic afferents to nucleus accumbens modulate depressive-like behavior[J]. Nat Med, 2019, 25(2): 337-349. DOI:10.1038/s41591-018-0299-9.
- [9] Lahdenpohja S, Rajala NA, Helin JS, et al. Ruthenium-mediated <sup>18</sup>F-fluorination and preclinical evaluation of a new CB1 receptor imaging agent [ <sup>18</sup>F]FPATPP[J]. ACS Chem Neurosci, 2020, 11 (13); 2009-2018. DOI;10.1021/acschemneuro.0c00313.
- [ 10 ] Jiang H, Guo Y, Muzik O. Automated radiosynthesis of [ <sup>18</sup>F ] FMPEP-d<sub>2</sub> for cannabinoid receptor PET imaging[ J ]. Am J Nucl Med Mol Imaging, 2023, 13(4): 171-178.
- [11] 国家药典委员会.中华人民共和国药典 四部[M].北京:中国医药科技出版社,2025:119,151,159,191,213.
  Chinese Pharmacopoeia Commission. Pharmacopoeia of the People's Republic of China Part W[M]. Beijing: China Medical Science Press, 2025:119,151,159,191,213.
- [12] Kilbourn MR, Cole EL, Scott P. *In vitro* binding affinity vs. in vivo site occupancy: a PET study of four diastereomers of dihydrotetrabenazine (DTBZ) in monkey brain [J]. Nucl Med Biol, 2021, 92; 38-42. DOI: 10.1016/j.nucmedbio.2020.02.008.
- [13] Singh S, Sarroza D, English A, et al. Pharmacological characterization of the endocannabinoid sensor GRAB<sub>eCB2.0</sub>[J]. bioRxiv, 2023, in press. DOI:10.1101/2023.03.03.531053.
- [ 14] Alzu'bi A, Almahasneh F, Khasawneh R, et al. The synthetic cannabinoids menace: a review of health risks and toxicity[J]. Eur J Med Res, 2024, 29(1): 49. DOI:10.1186/s40001-023-01443-6.
- [15] Sung Y, Kaang BK. The three musketeers in the medial prefrontal cortex: subregion-specific structural and functional plasticity underlying fear memory stages[J]. Exp Neurobiol, 2022, 31(4): 221-231. DOI:10.5607/en22012.
- [16] Jobson DD, Hase Y, Clarkson AN, et al. The role of the medial prefrontal cortex in cognition, ageing and dementia [J]. Brain Commun, 2021, 3(3); fcab125. DOI:10.1093/braincomms/fcab125.

(收稿日期:2024-09-05)